

В.Г.Еселеvич, Р.Х.Куртмуллаев, В.И.Пильский

Влияние дисперсионных эффектов на
структуре ударной волны в замагниченной
плазме

г.Новосибирск 1967

ИНСТИТУТ ЯДЕРНОЙ ФИЗИКИ СИБИРСКОГО ОТДЕЛЕНИЯ АН СССР

СССР

Препринт

В.Г. Еселеевич, Р.Х. Куртмуллаев, В.И. Пильский

ВЛИЯНИЕ ДИСПЕРСИОННЫХ ЭФФЕКТОВ НА СТРУКТУРУ УДАРНОЙ ВОЛНЫ

В ЗАМАГНИЧЕННОЙ ПЛАЗМЕ

г. Новосибирск
1967 г.

Важным проявлением дисперсионных свойств замагниченной плазмы являются ударные волны с осцилляторным профилем. Решения, полученные в теории, зависят от наклона фронта к магнитному полю /1/.

При углах $\theta \ll \sqrt{\frac{m_e}{m_i}}$ ("прямая волна" /1/) осцилляции имеют "длину" $\delta \sim \frac{c}{\omega_0}$ и отстают от основного скачка во фронте, при $\theta \gg \sqrt{\frac{m_e}{m_i}}$ ("косая волна" /1,2/) осцилляции опережают скачок; $\delta \sim \frac{c}{\omega_0} \theta$ (m_e, m_i - масса электрона, иона; ω_0, Ω_0 - плазменная частота электрона, иона; c - скорость света). Профиль и характерные размеры плазменных возмущений, наблюдавшихся в /3-5/, позволили отождествить их с косой /3/ и прямой /4,5/ ударными волнами. Однако, в этих и подобных /6/ экспериментах не измерялся непосредственно угол наклона θ и не исследовалась его роль в волновых процессах. Такие опыты излагаются в настоящей работе. Для косой квазистационарной волны было проведено корректное сравнение δ с теоретическим значением, тогда как ранее /5,6/ использовались довольно произвольные оценки θ из геометрии опыта. Регистрация θ позволила исследовать дисперсионные эффекты и структуру волн при значениях угла $\theta \geq \sqrt{\frac{m_e}{m_i}}$, $\theta \leq \sqrt{\frac{m_e}{m_i}}$, для которых отсутствует аналитическое описание явления. Влияние дисперсии изучалось в условиях ламинарной и турбулентной плазмы.

Эксперименты проводились на установке УН-4 /4,5/. Плазма, помещенная в квазистационарное магнитное поле H_0 , подвергалась быстрому ($\Delta t \sim 50 \pm 300$ нсек) сжатию переменным полем H_z , приложенным к её границе (рис. I). Пространственно-временное развитие возмущений регистрировалось с помощью системы из шести магнитных зондов. По запаздыванию сигналов между ближайшими зондами, различными по радиусу (τ_z) и параллельно оси (τ_{xz}), находятся значения радиальной и продольной компонент скорости,

$$U_r(zz) = \frac{\Delta z}{\tau_z}, U_x(zz) = \frac{\Delta z}{\tau_{xz}} \quad \text{и угол наклона фронта} \\ \sin \theta(zz) = \frac{U_x(zz)}{\Delta z} = \frac{\Delta z}{\Delta z} \frac{\tau_z}{\tau_{xz}}, \quad \text{усредненные по интервалам } \Delta z, \Delta z.$$

Наблюдения показали, что перекос фронта задается начальной конфигурацией сканирующего слоя плазмы, играющего роль поршня. При достаточной однородности плазмы искривление поршня возникает из-за раздвоения волн "Лонг" в . (3,4,5) ввиду отрицательного итогового . (х,в,д,свд)О"ФН О"ФН в .(3,4,5) ввиду отрицательного итогового .

неоднородности давления $\frac{H_0^2(z)}{8\pi}$ у края ударного витка (рис.1). В этой области ($10^\circ \leq \theta \leq 30^\circ$) процесс имеет следующие характерные особенности. Если начальное возмущение достаточно укрученено, от него отщепляется "волну разрежения". При непрерывном давлении поршня перед скачком нарастает шлейф знакопеременных осцилляций, фазовая скорость которых увеличивается с уменьшением длины волны (в аргоновой плазме она могла достигать значений, превышающих $10 V_A$, где $V_A = \frac{H_0}{\sqrt{4\pi n_0 m_i}}$ - альфеновская скорость).

В определенных условиях ($\frac{c\sqrt{m_i}}{\sqrt{4\pi n_0 e^2}} \theta \ll R$, $\Delta t \ll \frac{R\sqrt{4\pi n_0 m_i}}{H_0}$) устанавливается квазистационарная фаза, когда скорость переноса внутри шлейфа становится практически постоянной, а размер последней осцилляции хорошо соответствует значению $\frac{H_0}{2}\theta$ (рис.2а). Компонента H_φ ($\perp H_0, \vec{U}$; рис.3а) примерно одинакова по амплитуде с H_z (рис.2а) и сдвинута относительно нее по фазе на $\frac{\pi}{2}$. Все указанные закономерности согласуются с теорией для $\theta \gg \sqrt{\frac{m_e}{m_i}}$ /1,2/.

Внутри ударного витка перекос поршня невелик ($\theta \sim 0 + 10^\circ$) и возникает из-за неоднородности плазмы. С уменьшением θ убывают число и амплитуда опережающих осцилляций, а в области скачка и за ним нарастают колебания с $\delta \sim \frac{c}{\omega_0}$ (рис.2б). Это указывает на одновременное проявление противоположных дисперсионных эффектов, не компенсирующих друг друга, которые формируют профиль в виде гибрида косой и прямой волн.

При углах $\theta \leq 2\sqrt{\frac{m_e}{m_i}}$ (т.е. ранее, чем при $\theta \ll \sqrt{\frac{m_e}{m_i}}$) преобладает дисперсия, обусловленная инерцией электронов, на что указывает отстающий осцилляторный шлейф и $\delta \sim \frac{c}{\omega_0} / 1/$ (рис.2в). Отличие от стационарного вида прямой волны связано с кумуляцией /5/.

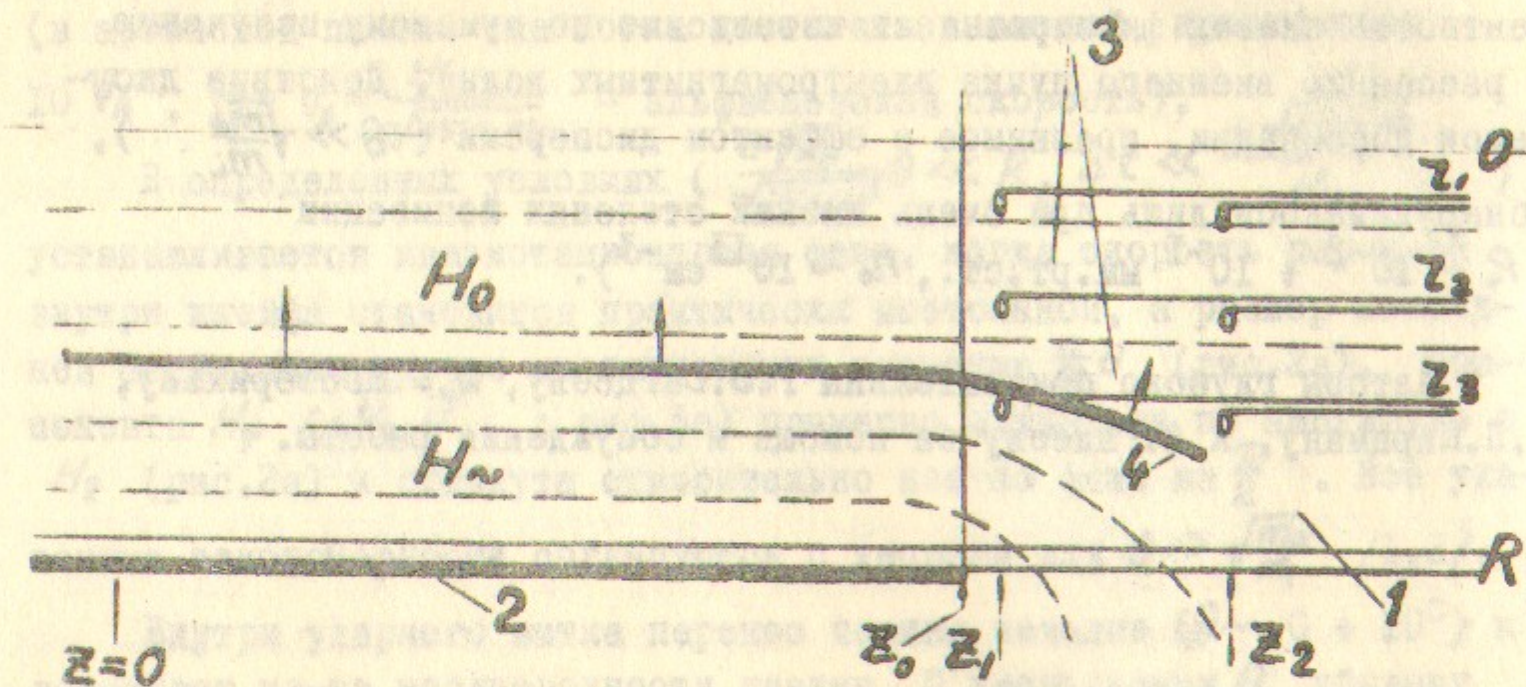
Изложенные результаты согласуются с численным решением, полученным в /7/, если в качестве общего параметра брать $\frac{\theta}{\sqrt{m_e/m_i}}$.

Регистрация H_φ позволяет более четко установить механизм, формирующий ширину скачка при малых углах. Оказалось, что после исчезновения опережающих осцилляций остается вклад дисперсии с $\delta \sim \frac{c}{\omega_0} \theta$, о чём свидетельствуют возмущения H_φ , локализованные в области основного скачка (рис.3в, г). В "прямой" волне преобладают отстающие в.ч. колебания H_φ с $\delta \sim \frac{c}{\omega_0}$; при $\theta \rightarrow 0$ $H_\varphi \rightarrow 0$ (рис.3д, е, ж).

Развитие мелкомасштабных неустойчивостей при $P_0 \sim 10^{13} \text{ см}^{-3}$ "замазывает" осцилляции с $\delta \sim \frac{c}{\omega_0}$, однако эффективная глубина сканирования $\delta_s \sim 10\% \omega_0 / 4/$ не препятствует формированию "косых" осцилляций, т.к. $\frac{\delta_s \theta}{\delta_s} \geq 1$ уже при $\theta \geq 10\sqrt{\frac{m_e}{m_i}}$. В таком режиме при $\theta \rightarrow 0$ мы наблюдали переход к апериодическому профилю (турбулентность плазмы фиксировалась независимо по шумовому излучению и рассеянию внешнего пучка электромагнитных волн). Действие джоулевой дисперсии, сравнимое с эффектом дисперсии ($\theta \gg \sqrt{\frac{m_e}{m_i}}$), обнаруживалось лишь при очень низких степенях ионизации ($P_0 \sim 10^{-2} + 10^{-1} \text{ мм.рт.ст.}$, $n_0 \sim 10^{13} \text{ см}^{-3}$).

Авторы глубоко признательны Р.З.Сагдееву, Ю.В.Нестерихину, В.П.Карпману, А.А.Галееву за помощь и обсуждения работы.

подтверждено в работе Ф.А.Кармана и А.Г.Бондаря. При этом волна сопровождается сдвигом магнитного поля вперед на величину, равную угловому отклонению магнитного поля. При изучении волновых явлений перед зонами фронтов ударных волн в магнитном поле фазовая картина определяется неоднозначно (и симметрично) при различных амплитудах волн, что обусловлено различием фазовых сдвигов в магнитном поле и волнах.



При углах $\theta \leq 10^\circ$ (т.е. ранее, чем при $\theta = 10^\circ$) в пределах диапазона, обозначенного изображением, не возбуждаются противоположных направлений эффектов, не компенсирующих друг друга, вследствие которых профиль в виде гибридной волны и прямой волны.

При углах $\theta > 10^\circ$ (т.е. ранее, чем при $\theta = 10^\circ$) в пределах диапазона, обозначенного изображением, не возбуждаются отставший определенный угол $\theta \sim 10^\circ$ (рис. 3б). Из-

Рис.1. Схема возбуждения и регистрации ударных волн.

1 - вакуумный объем (стеклянная трубка, $R = 8$ см);
2 - ударный виток (разрез), возбуждающий поле
($Z = 0$ - среднее сечение, $Z_1 = 15$ см - край витка);
3 - магнитные зонды ($Z_1 = 0,5$ см, $Z_2 = 2,9$ см, $Z_3 = 5,3$ см;
 $\Delta Z = Z_2 - Z_1 = 5$ см); 4 - фронт волны; $H_0 \sim 0 + 2$ кэ,
 $H_\sim \sim 1 + 5$ кэ.

ности основного скачка (рис. 3а, б). В "прямой" волне преобладают отставшие в.в. колебания $H_0 \sim 3 - 5$ кэ при $\theta = 0$ Круг $\theta = 0$ (рис. 3а, б, в).

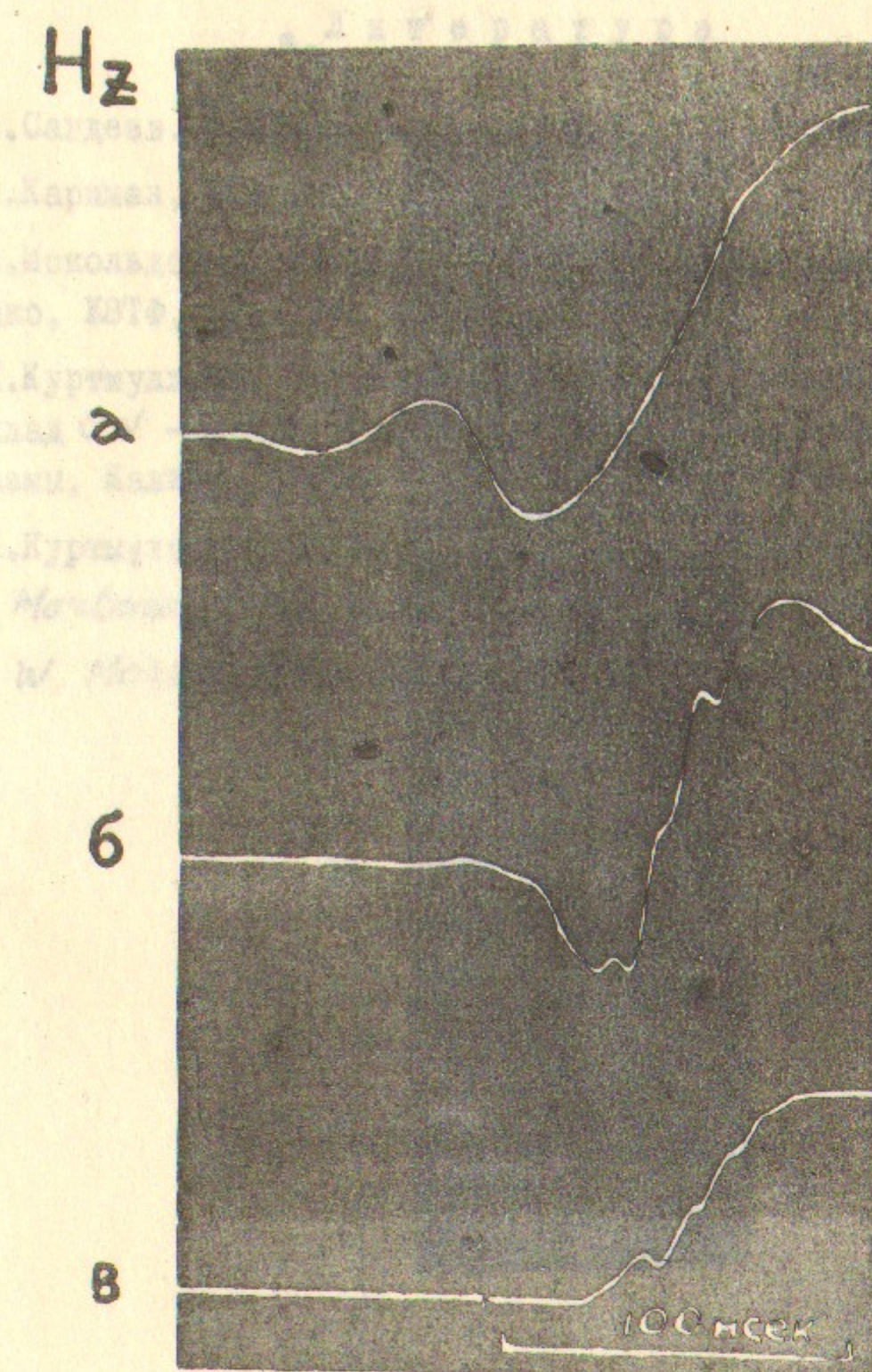


Рис.2. Зависимость профиля ударной волны от наклона фронта к магнитному полю.

Водород. а) $\theta \sim 10^\circ$, $n_0 \sim 2 \cdot 10^{13} \text{ см}^{-3}$, $H_0 \sim 110$ э, $Z_1 = 15$ см,
б) $\theta \sim 7^\circ$, $n_0 \sim 5 \cdot 10^{12} \text{ см}^{-3}$, $H_0 \sim 110$ э, $Z_1 = 0$,
в) $\theta \leq 2^\circ$, $n_0 \sim 5 \cdot 10^{11} \text{ см}^{-3}$, $H_0 \sim 170$ э, $Z_1 = 0$.

Л и т е р а т у р а

1. Р.З.Сагдеев. Вопросы теории плазмы, т.4, Атомиздат, 1964.
2. В.И.Карлман, ЖТФ вып.8, 38, 959, 1963.
3. А.И.Искольдский, Р.Х.Куртмуллаев, Ю.Е.Нестерихин, А.Г.Пономаренко, ЖЭТФ, 47, 774, 1964.
4. Р.Х.Куртмуллаев, Ю.Е.Нестерихин, В.И.Пильский, Р.З.Сагдеев. Доклад СН -21/218 на II Международной конференции по физике плазмы, Калхэм, 1965. *Conferens Proceedings vII*, 367.
5. Р.Х.Куртмуллаев, Диссертация, Новосибирск, 1965.
6. M. Mortone, *Phys. Letters*, 22, № I, 73 (1966).
7. K. W. Morton, *Phys. Fluids*, 7, № II, 1800 (1964).

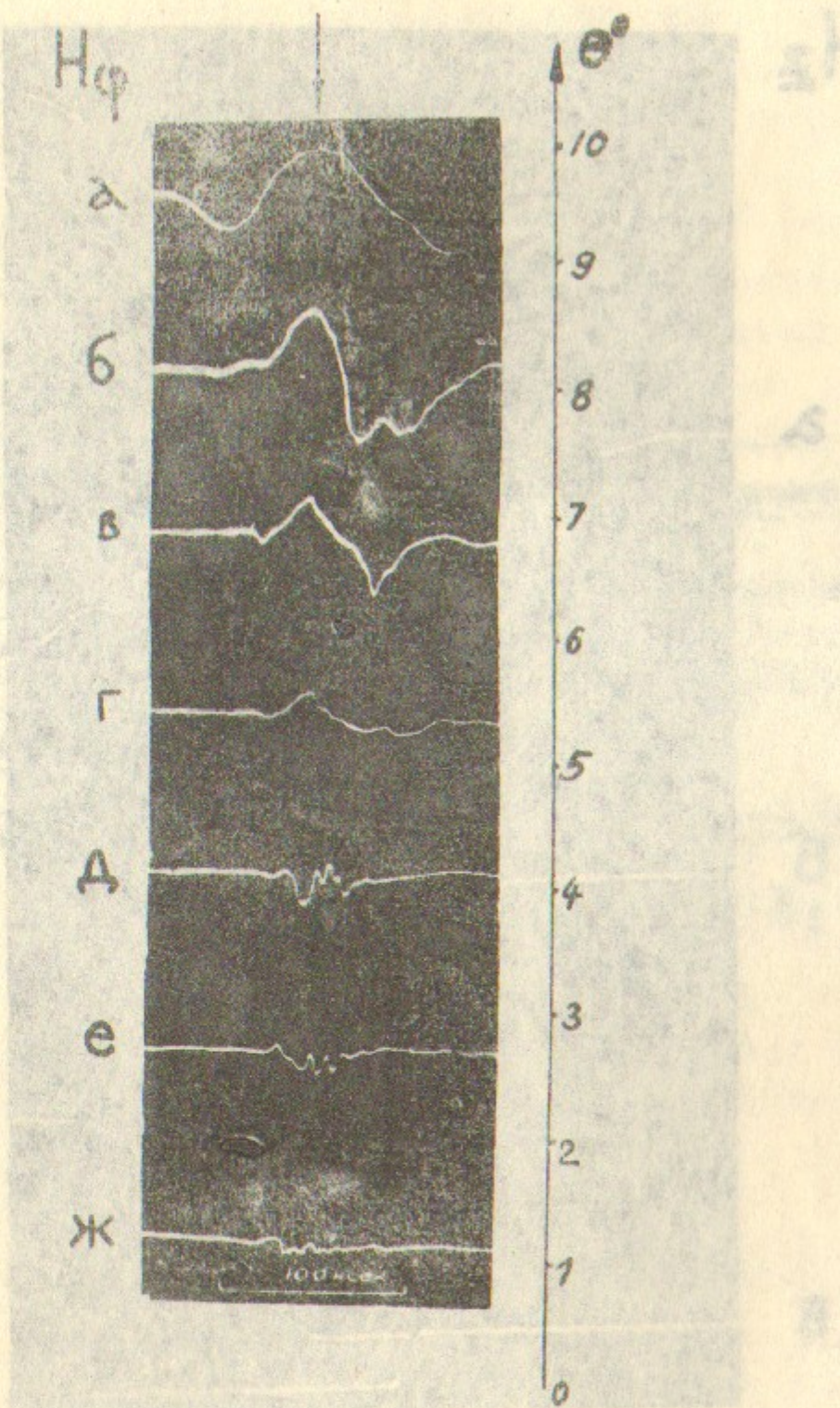


Рис.3. Основные изображения в регистрациях удалных волн

Рис.3. Трансформация φ -ой компоненты магнитного поля с изменением θ .

Водород. а) $n_0 \sim 2 \cdot 10^{13} \text{ см}^{-3}$, $H_0 \sim 110 \text{ э}, Z_f = 15 \text{ см}$,

б) $n_0 \sim 3 \cdot 10^{12} \text{ см}^{-3}$, $H_0 \sim 110 \text{ э}, Z_f = 0$,

г-ж) $n_0 \sim 5 \cdot 10^{11} + 10^{12} \text{ см}^{-3}$, $H_0 \sim 110 + 170 \text{ э}, Z_f = 0$.

Стрелкой указана область основного скачка H_Z

в ч у в с о т а й

(402) телевидчн. А.С. исполнитель инсцено. худож. В.Я. 1
режиссер. А.С. художник. В.И. 2
актёров. Т.А. режиссер. А.С. художник. И.А. 3
актёров. Т.А. режиссер. А.С. художник. И.А. 4
актёров. Т.А. режиссер. А.С. художник. И.А. 5
актёров. Т.А. режиссер. А.С. художник. И.А. 6
актёров. Т.А. режиссер. А.С. художник. И.А. 7
актёров. Т.А. режиссер. А.С. художник. И.А. 8
актёров. Т.А. режиссер. А.С. художник. И.А. 9

Ответственный за выпуск Меклер К.И.

Подписано к печати 2.02.1967г., заказ № 94
0,2 неч.л., тираж 200 экз., бесплатно.

Отпечатано на репринте в ИЯФ СО АН СССР